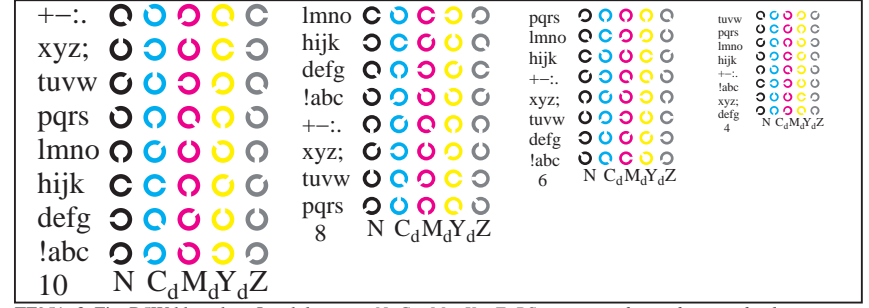
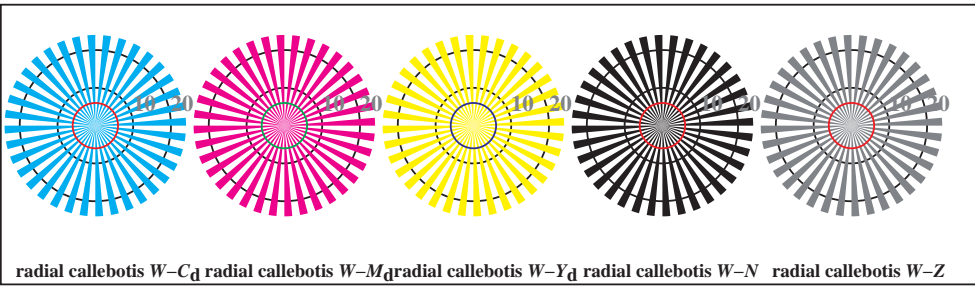


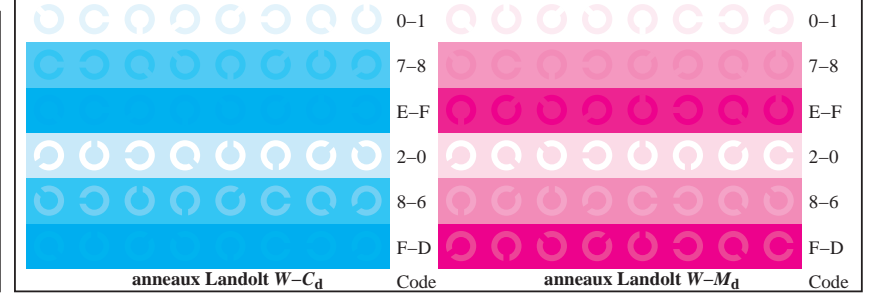
TF951-1, Fig. B4Wdd: 16 équidistants étapes  $W-C_d$ ;  $W-M_d$ ;  $W-Y_d$ ;  $W-N$ ;  $rgb/cmy0 \rightarrow rgb_{dd}$  *setrgbcolor*



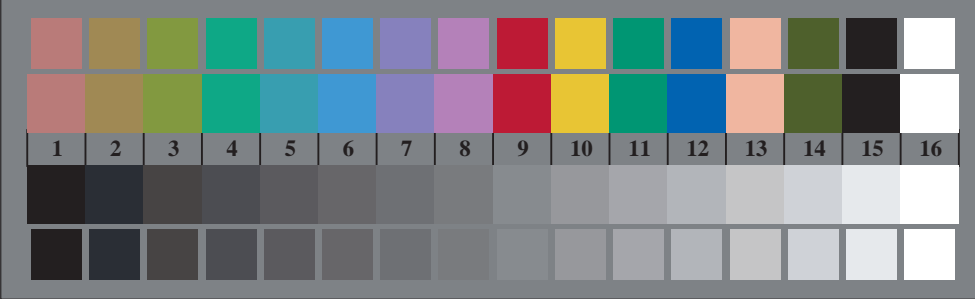
TF951-3, Fig. B5Wdd: code et Landolt anneauN;  $C_d$ ;  $M_d$ ;  $Y_d$ ; Z; PS operator  $rgb \rightarrow rgb_{dd}$  *setrgbcolor*



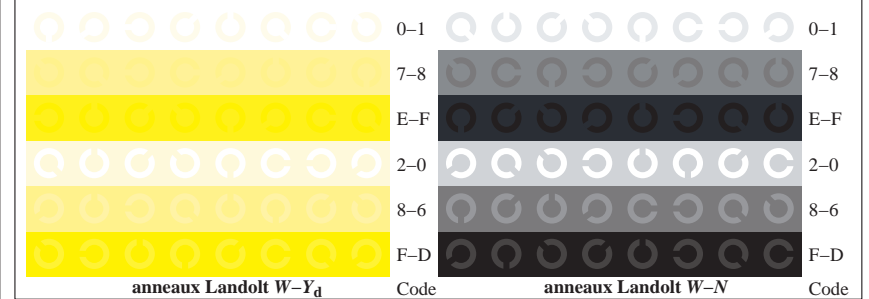
TF950-5, Fig. B2Wdd: radial callebotis  $W-C_d$ ;  $W-M_d$ ;  $W-Y_d$ ;  $W-N$ ; PS operator  $rgb \rightarrow rgb_{dd}$  *setrgbcolor*



TF951-5, Fig. B6Wdd: anneaux Landolt  $W-C_d$ ;  $W-M_d$ ; PS operator  $rgb \rightarrow rgb_{dd}$  *setrgbcolor*



TF950-7, Fig. B3Wdd: 14 CIE test couleurs et 2 + 16 gris étapes (sf);  $rgb/cmy0 \rightarrow rgb_{dd}$  *setrgbcolor*



TF951-7, Fig. B7Wdd: anneaux Landolt  $W-Y_d$ ;  $W-N$ ; PS operator  $rgb \rightarrow rgb_{dd}$  *setrgbcolor*